

از مزانشیم تا غضروف: مطالعات لکتین هیستوشیمی در مزانشیم

ناحیه شکمی-داخلی لوله عصبی در طی دوران روانی

*دکتر محمد رضا نیکروش، دکتر علیرضا فاضل، دکتر مهدی جلالی

*گروه علوم تشریحی، دانشکده پزشکی، دانشگاه علوم پزشکی مشهد

خلاصه

گلیکوکانجیوتی‌های زنجیره‌های قندی سطح سلولی و مولکول‌های ماتریکس خارج سلولی می‌توانند الگوی مناسبی برای غایش تغییرات تکاملی جنین به حساب آیند. بر اساس شناسایی این تغییرات که در هنگام تکامل مزانشیم به وقوع می‌پیوندد، سرنوشت لوله عصبی و پیدایش غضروف در مجاورت بخش شکمی آن در روزهای دوازدهم تا شانزدهم زندگی جنینی موش مورد مطالعه قرار گرفت. در این پژوهش که با استفاده از دو لکتین Wisteria Floribonda (WFA) و Orange Peel Funtuf Agglutinin (OFA) در اینما گرفت مشخص شد که در فاصله روزهای دوازدهم تا سیزدهم، سلوهای اسکلروتال در اطراف نوتوکورود متراکم شده و در مجاورت بخش شکمی لوله عصبی به سلوهای پیش ساز غضروف تمايز می‌یابند. نتایج تحقیق نشان می‌دهد که در Wisteria floribonda (WFA) که اختصاصاً به سیر تمايز مزانشیم به غضروف نقشی ندارد. یافته‌های ما همچنین دلالت بر این دارند که لکتین اختصاصی D-GalNAc اتصال می‌یابد با سلوهای اسکلروتوم در مرحله پیش سازی غضروف واکنش بسیار بارزی نشان می‌دهد. واکنش به WFA که از روز چهاردهم آغاز گردید کماکان در روزهای پانزدهم و شانزدهم نیز ادامه یافت. در شروع روز شانزدهم تمامی سلوهای غضروفی پیش ساز جسم مهره‌ها و دیسک‌های بین مهره‌ای تمايز یافته اند.

این نتایج دلالت بر این است که واکنش گلیکوکانجیوتی مثبت WFA ممکن است در رابطه با تغییر سلوهای مزانشیم به غضروف نقش تمايزی داشته باشد و بروز موقت آن در طی مرحله عبور از مزانشیم به غضروف از نظر ژنتیکی تنظیم می‌گردد.

کلمات کلیدی: گلیکوکانجیوتی، لکتین هیستوشیمی، اسکلروتوم، لوله عصبی، نوتوکورود

مقدمه

۱) باعث القاء نورواکتور درم از لایه اکتور درم می‌گردد (۳۲، ۱۷)،

۲) در مراحل بعدی به تمايزات سلولی مربوط به نواحی شکمی لوله عصبی از جمله صفحه کفی و نورون‌های حرکتی منجر می‌شود (۲۸، ۲۹).

۳) از ناحیه شکمی خود باعث القاء بخش‌هایی از آندودرم می‌شود که این امر به تشکیل برخی از جوانه‌های ساختاری همانند پانکراس می‌انجامد (۲۱، ۶، ۲۲).

۴) در جهت ایجاد محور ستون مهره‌ها وارد عمل شده و سلوهای اسکلروتوم را به اطراف خود جلب می‌نماید و با بهره‌گیری از

الگو و طرح تکامل سلوهای مختلف جنینی در قام مهره داران

ارتباط تنگاتنگی با عملکرد به موقع مراکز تنظیم کننده (Organizing centers) متعدد در طی دوران امбриوژن دارد که توسط فاکتورهای مختلف شیمیایی اعمال می‌گردد

(۴، ۲۰، ۲۲، ۳۲). یکی از این مراکز مهم، زایده نوتوکورود است که سلوهای تشکیل دهنده آن از خط اولیه Primitive streak ناشی می‌شود که خود از لایه اپسی بلاست مشتق شده است. نوتوکورود به عنوان یک مرکز تنظیم کننده در طی زمانهای متفاوت و دقیق در چند جهت فعالیت می‌نماید که از جمله می‌توان گفت:

مشاهده واژینال پلاگ، روز صفر حاملگی برای هر یک از آنان مشخص گردید. سپس این حیوانات در شرایط استاندارد خانه حیوانات (۱۲ ساعت روشنایی، ۱۲ ساعت تاریکی)، آب و غذای کافی و حرارت $1^{\circ}\text{C} \pm 24$ مورد مراقبت قرار گرفتند. در فاصله روزهای دوازدهم تا شانزدهم، موشهای حامله (هر دو موش در یک روز) تحت بیهوشی عمیق سزارین شده و پس از جداسازی شاخه‌های رحم و انتقال آن به سرم فیزیولوژی پرده‌های جنینی با سرعت و دقیق شکافته شد و جنین‌های به دست آمده از هر یک از روزها به منظور دستیابی به فیکس سریع و مناسب به شیشه‌های کد گذاری شده حاوی فرمالین (محلول ۱۰٪ فرمالدئید در سرم فیزیولوژی) انتقال یافتند.

تهیه برشهای بافتی

با کامل شدن مرحله فیکس، جنین‌های مربوط به هر یک از روزهای به دست آمده مطابق روش‌های معمول بافت‌شناسی، آبگیری و شفاف شدند و به گونه‌ای در قالب‌های پارافینی قرار گرفتند که بتوان از آنان برشهای عرضی میکروسکوپی تهیه نمود. سپس از هریک از گونه‌های مورد نظر در آزمایشگاه هیستوتکنیک داشکده پزشکی برشهای سریال با ضخامت ۵ میکرون تهیه گردید.

مطالعات لکتین هیستوشیمیابی

در این پژوهش با توجه به روزهای جنینی مورد نظر از دو لکتین OFA و WFA که از شرکت Sigma خریداری و با HRP کانجبوگیت شده بودند، استفاده گردید. برای این منظور، ابتدا لکتین‌های مورد نظر به کمک بافر PBS رقیق شدند به طوری که در هر میلی لیتر آن ۱۰ میکروگرم ماده مؤثر قرار داشت. سپس برشهای به دست آمده برای مدت ۲ ساعت با هر یک از لکتین‌های رقیق شده مجاورت داده شدند. پس از این مرحله، گونه‌های بافتی با بافر شستشو داده شدند و سپس در محلول DAB (Di Amino Benzidine) قرار گرفتند و به ازای هر ۱۰ میلی لیتر محلول DAB مقدار ۲۰ میکرولیتر آب اکسیژنه اضافه گردید. در مرحله بعد کلیه

میان کنشهای مولکولی ناحیه شکمی لوله عصبی مقایزات سلوی آن از مزانشیم به غضروف تغییر می‌یابد (۵، ۸، ۹، ۲۶). نتوکورد همچنین از ناحیه سری خود باعث القاء صفحه نتوکوردی شده و به شکل گیری سر و صورت کمک می‌کند (۴، ۱۷).

در ارتباط با مولکولهای در گیر با میان کنشهای سلوی (Cell interactions) بین نتوکورد و بافت‌های مجاور خصوصاً لوله عصبی، مطالعات قابل توجهی در سالهای اخیر انجام گرفته است که در این میان نقش مولکول Sonic hedgehog در القاء صفحه کفی لوله عصبی و سپس مقایز نورونهای حرکتی این ناحیه بسیار بارز است (۳، ۱۳، ۲۹). در این میان هرچند نقش اساسی گلیکوکانجبوگیتها در بسیاری از پدیده‌های تکاملی از جمله میان کنشهای سلوی به اثبات رسیده است (۱۱، ۱۰)، اما نحوه توزیع و نقش آنها در میان کنشهای نتوکوردی هنوز مورد توجه پژوهشگران واقع نشده است.

الگوی گلیکوزیلاسیون سلوها و بافت‌های جنینی اطلاعات بسیار مفیدی را در ارتباط با مکانیسمهای تنظیم تکاملی گذرا (Spatial) و فضایی (Temporal) این مولکولها به دست می‌دهد (۱۰، ۱۲، ۱۸).

امروزه ظهور موقعت و نحوه توزیع این گلیکوکانجبوگیتها را می‌توان به کمک روش‌های بسیار دقیق لکتین هیستوشیمی تعیین نمود. بنا به موارد فوق و با توجه به ارتباط آناتومیک لوله عصبی با نتوکورد ما بر آن شدمیم تا مهاجرت سلوهای اسکلرتوئوم به سمت نتوکورد و اطراف آن را بررسی نموده و تغییر و توزیع برخی از گلیکوکانجبوگیتها را از مرحله مزانشیم تا ایجاد غضروف در ناحیه شکمی لوله عصبی مورد مطالعه قرار دهیم.

مواد و روش کار

حیوان آزمایشگاهی

برای انجام این مطالعه ۱۰ میکروگرم Balb/c به سن تقریبی ۲ ماه تهیه گردیده و پس از آمیزش با موشهای نر و

واکنش به WFA از روز چهاردهم جنینی شروع شد و براساس ظهور این واکنشها مشخص گردید که سلوهای اسکلرتوTom متراکم تر شده و پیش ساز غضروف جسم مهره‌ها را به وجود می‌آورند. این سلوهای در مناطق گلزاری و سطح سلوی مربوط به خود به WFA واکنش داده‌اند که در برخی از قسمت‌ها همانند نتوکورد و محدوده توده مزانشیمی پیش ساز غضروف این واکنش به مراتب شدیدتر است. نتوکورد در این مرحله باز هم کوچکتر شده و بافت عصبی مطلقاً به WFA واکنش نداده است (شکل ۳).

واکنش به WFA در تمامی سلوهای متراکم و تشکیل دهنده پیش ساز غضروفی و بخش‌هایی از نتوکورد تا اوایل روز پانزدهم ادامه دارد. بافت مزانشیم چسبیده به لوله عصبی (ستاره در شکل ۵) که احتمالاً پرده‌های منتشر را تشکیل خواهد داد نیز واکنش داده است. در جلوی این ناحیه (پیکان نشانه در شکل ۵) حفره‌ای در حال شکل‌گیری است که می‌تواند فضای زیر عنکبوتیه قلمداد شود. گانگلیونهای سپاتیک در طرفین این پیش ساز غضروفی در حال شکل‌گیری هستند و برخی از سلوهای اطراف آن‌ها به این لکتین واکنش داده‌اند (پیکان کوتاه در شکلهای ۴ و ۵).

از اواخر روز پانزدهم از شدت واکنش به WFA از محیط به مرکز پیش ساز غضروفی کاسته می‌شود و این سلوهای به تدریج تبدیل به غضروف می‌شوند (شکلهای ۷ و ۸). در روز شانزدهم قالب غضروفی ناحیه شکمی-داخلی نخاع در حال تکامل (S) کاملاً "شکل گرفته است (شکل ۸)، در نتوکورد (ستاره در شکل ۷) سلوهای درشتی به چشم می‌خورند که واکنش خود را به WFA حفظ نموده و باید در روزهای بعدی به تشکیل دیسکهای بین مهره‌ای کمک کنند (شکل ۷). در این مرحله نتوکورد کاملاً "تحلیل" رفته و ضمن اینکه واکنش به WFA را تا آخرین لحظه حفظ می‌کند (پیکان در شکل ۸) بقایای آن سراخام به نوکلئوس پالپوزوس (Nucleus pulposus) تبدیل می‌شود.

مقاطع با رنگ آلسین بلو در pH=۲/۵ جهت نشاندادن زمینه باقی رنگ آمیزی شدند و به این طریق واکنش هر لکتین با قند انتهایی مربوطه در زنجیره‌های گلیکوکاتزوگیتی در مشاهدات میکروسکوپی به رنگ قهوه‌ای مشاهده گردید. سپس از مناطق مورد نظر در میدانهای دید مربوط به هر برش با استفاده از میکروسکوپ Olympus AH-2 تصویر برداری شد.

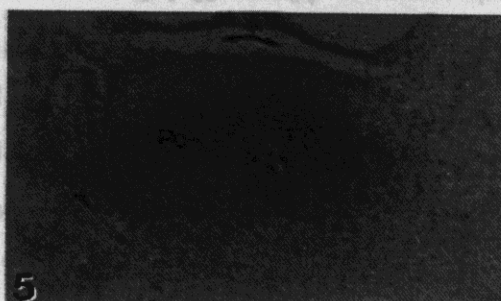
نتایج

این پژوهش که بر اساس مطالعات لکتین هیستوشیمیایی برشهای میکروسکوپی متعدد جنین موش در فاصله بین روزهای دوازدهم تا شانزدهم انجام گرفت با استفاده از مجاور ساختن این مقاطع با لکتین‌های OFA و WFA نتایج حاصل به شرح ذیل مشخص گردید:

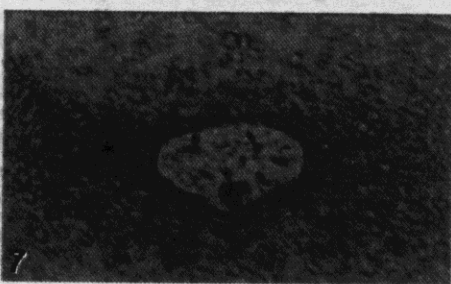
در روز دوازدهم سلوهای مشتق از سومایتها که در اطراف لوله عصبی در حال تکامل قرار گرفته اند به سمت زایده نتوکورد مهاجرت نموده و در اطراف آن تجمع می‌نمایند (شکل ۱).

در این مرحله هیچیک از سلوهای محدوده لوله عصبی واکنش لکتینی نشان نداده و قاماً " فقط با آلسین بلو به رنگ آبی در آمده‌اند. غشای پایه نتوکورد نیز شدیداً با آلسین بلو واکنش داد. در عوض باقیهای عصبی شامل بخش قدامی لوله عصبی، عصب خداعی در حال گسترش و پیش ساز گانگلیونهای سپاتیک به OFA واکنش دادند.

در روز سیزدهم نیز واکنش به دو لکتین مورد نظر شبیه به واکنشهای انجام گرفته در روز دوازدهم است. در این مرحله سلوهای اسکلرتوTom در اطراف نتوکورد بسیار متراکم شده‌اند در حالیکه در حد فاصل لوله عصبی و نتوکورد این تراکم سلوهای مزانشیمی کمتر به چشم می‌خورد که در لابلای آنها سلوهای پراکنده‌ای با OFA واکنش داده‌اند. علاوه بر این نتوکورد نسبت به روز دوازدهم از لوله عصبی بیشتر فاصله گرفته است (شکل ۲).



شکل‌های ۱و۵: مقاطع عرضی جنین موش در اوخر روز پانزدهم که در مجاورت WFA قرار گرفته است. در این تصاویر همانطور که دیده شود واکنش به WFA به تدریج در پیش ساز غضروف (PC) افزایید یافته و سلولهای نوتوكورد (پیکان نشانه) را نیز درگیر نموده است. تا اواسط روز پانزدهم جنبه تمام سلولهای پیش ساز غضروفی و بخش‌هایی از مزانشیم قسمت قدامی لوله عصبی شدیداً به واکنش داده است اما بافت عصبی واکنش ندارد. فقط برخی از سلولها در اطراف زنجیره سمپاتیک (پیکان کوتاه) واکنش داده‌اند. در این تصویر همچگونه که نشان داده است کانال مهره‌ای (ستاره و پیکان دوگانه) در حال شکل‌گیری است.

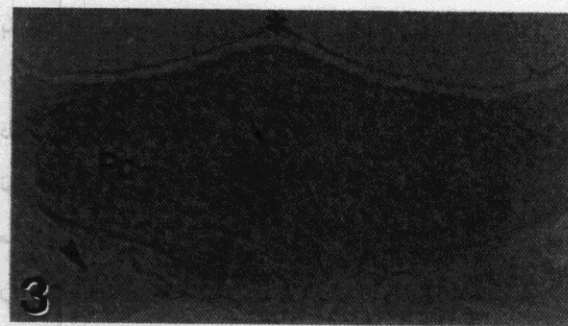


شکل‌های ۱و۶: مقاطع عرضی جنین موش در اوخر روز پانزدهم که در مجاورت WFA قرار گرفته است. شکل ۷ بزرگنمایی شکل ۶ است که سلولهای درشتی (پیکانهای نشانه) در نوتوكورد (N) دیده می‌شود که واکنش شدیدی به WFA نشان داده‌اند. همانطور که در این تصاویر دیده می‌شود از واکنش سلولهای پیش ساز غضروف از خارج به داخل نسبت به لکتین کاسته شده و فقط به السین بلو واکنش داده‌اند.

شکل ۱: مقطع عرضی نوتوكورد جنین موش در اوایل روز دوازدهم که در مجاورت OFA قرار گرفته است. در این تصویر نوتوكورد (پیکان نشانه) و سلولهای اسکلروتوم اطراف (S) که درحال مهاجرت به سوی نوتوكورد هستند مشخص است. علاوه براین بخشی از لوله عصبی (ستاره) و عصب نخاعی درحال شکل‌گیری (n) و سلولهای تشکیل دهنده گانگلیون سمپاتیک دیده می‌شود که با این لکتین واکنش داده‌اند.



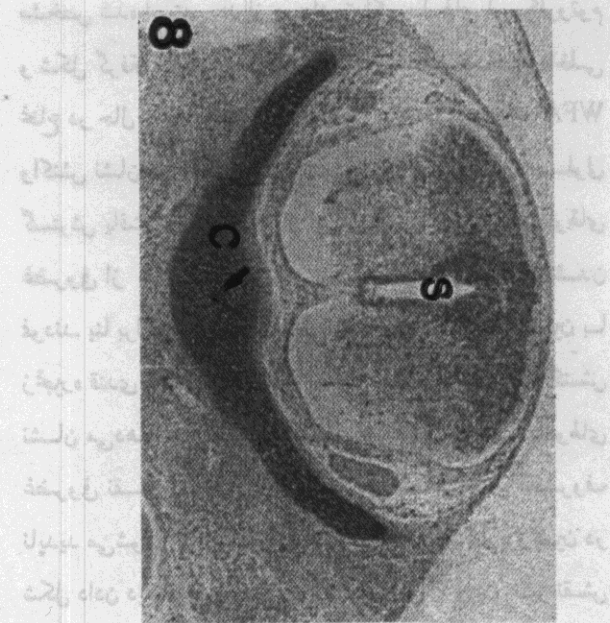
شکل ۲: مقطع عرضی جنین موش در اوایل روز سیزدهم که در مجاورت OFA قرار گرفته است. در این تصویر قسمت قدامی لوله عصبی (ستاره)، پیش سازهای زنجیره سمپاتیک (پیکان کوتاه) و سلولهای مزانشیمی چسبیده به ناحیه شکمی لوله عصبی که به این لکتین واکنش نشان داده‌اند. نوتوكورد و سلولهای متراکم اسکلروتوم (CS) همچگونه واکنشی به OFA نداده است. در این تصویر تراکم سلولهای مزانشیمی اطراف نوتوكورد (پیکان نشانه) رنگ آبی بخود گرفته است.



شکل ۳: مقطع عرضی جنین موش در روز چهاردهم که در مجاورت WFA قرار گرفته است. در این تصویر تجمع سلولهای مزانشیمی بصورت طرح پیش ساز غضروف (PC) بدنۀ مهره در آمده است. نوتوكورد (پیکان نشانه) کوچکتر شده است. غلاف محصوره سلولهای پیش ساز غضروفی و مناطق گلزاری بسیاری از سلولهای تشکیل دهنده این سلولها به WFA واکنش داده‌اند. در این تصویر لوله عصبی (ستاره) و گانگلیونهای سمپاتیک (پیکان کوتاه) همچگونه واکنشی به WFA ندارند.

بافتھای مجاور انجام می‌پذیرد (۲۰، ۲۸، ۳۰، ۳۲) و خود متقابلاً بر روی بافتھای مجاور تأثیرات تکاملی مؤثر و تعیین کننده‌ای دارد (۲۵، ۳). از جمله این بافتھا می‌توان از مزانشیم تشکیل دهنده اسکلروتوم و زایده نوتوکورد نام برد که هریک از آنان در طی مراحل اولیه دوران جنینی (Embryonic period) با لوله عصبی در حال تکامل میان کنش (Interactions) متفاوت دارند (۱۸، ۲۷، ۳۲). همانگونه که در مقدمه مقاله ذکر گردید هدف ما در این پژوهش بررسی توزیع و تغییرات برخی از گلیکوکالیجوگیتھا در نوتوکورد و سلوھای اسکلروتال آن از مرحله مزانشیمی تا غضروفی است که با توجه به موقعیت آناتومیک خصائص در حال تکامل بوقوع می‌پسندد.

در گزارش قبلی ما نشان دادیم که در اوایل دوران مورفوژنز و تشکیل لوله عصبی، نوتوکورود در قاس بسیار نزدیک با نوروایپیتیلیوم عمل می‌کند و با بروز گلیکوکانجیوگیت دارای قند انتهایی فوکوز که اختصاصاً با لکتین OFA (۲۴، ۱۰) مشخص می‌شود، ارتباط مولکولی نوتوکورود و نوروایپیتیلیوم پیش ساز غشاء آشکار می‌گردد (۱۲). این ارتباط مولکولی که در مرحله القاء اولیه اکتودرم و القاء تورواپیتیلیوم برای تمایزات بعدی صورت می‌پذیرد توسط بسیاری از پژوهشگران مورد تأیید قرار گرفته است و مشخص شده است که در این ارتباط مولکول (Shh) نقش بسیار کلیدی ایفا می‌نماید Sonic hedgehog (۳۰). مطالعات لکتین هیستوشیمی "ما نیز دقیقاً" مؤید همین موضوع است مضافاً اینکه در ترکیب مولکول Shh مولکول آلفافوکوز ۱ → ۶ نیز نقش اساسی دارد. لوله عصبی نیز به سهم خود بر روی سلوهای مزودرمی اثر متقابل می‌گذارد که این تأثیر در زمینه شکل گیری مزانشیم اسکلروتوم از سومایت و مهاجرت آنها به سوی نوتوکورود صورت می‌گیرد (۱۱، ۱۶، ۲). نقش گلیکوکانجیوگیتها در این مهاجرت سلوهای مزانشیمی، تراکم آنها در اطراف نوتوکورود و تمایزات بعدی در جهت شکل گیری غضروف در ناحیه



شکل ۸ مقاطع عرضی جنین موش در روز شانزدهم که در مجاورت WFA قرار گرفته است. در این تصویر تصور الگوی غضروفی جسم مهرو و پدیکولهای آن کامل شده و با واکنش نسبت به آلسین بلو با آبی پر رنگ نمایش داده شده است. در این مرحله نوتکورود (پیکان نشانه) بسیار کوچک شده و هنوز واکنش خود را نسبت به WFA از دست نداده است. در این تصویر سلولهای محدوده مجرای اپاندیم (S) و سایر بخش‌های نخاع به WFA اصلًا واکنش نداده یا اینکه واکنش بسیار پراکنده و اندک است. فقط در ناحیه صفحه قاعده‌ای نخاع تعدادی از سلولها به این لکتین واکنش داده‌اند.

بحث

در دو دهه اخیر از طرف پژوهشگران بیولوژی تکوینی (Developmental biology) تلاش‌های زیادی به عمل آمده است تا در رابطه با پدیده‌ها و تغییرات دوران پسر رمز و راز تکامل، به نوعی ردیاب مولکولی (Molecular tracer) برای سلوهای جنیفی دست یابند. از این میان می‌توان از به کار گیری ایزوتوپهای رادیو اکتیو، آنتی پادیها، برخی از روش‌های پیشرفته میکروآناتومی همانند Chich-quil و لکتین‌ها نام برد (۱۰، ۱۳، ۱۷، ۱۹). تشکیل لوله عصبی و تکامل آن به مغز و نخاع و ایجاد ارتباطات عصبی با سایر نقاط بدن یکی از موارد بسیار پیچیده دوران تکامل جنیف است. القاء لوله عصبی و تداوم تمايزات آن توسط

مشخص شده است، بعد از مرحله تراکم سلوهای اسکلروتوم و شکل گرفتن یک قالب مزانشیمی در ناحیه شکمی داخلی WFA نخاع در حال تکامل، سلوهای مزبور به تدریج به واکنش نشان دادند که این واکنش به قام نواحی تراکم سلوی گسترش یافت و سرانجام از اوایل روز شانزدهم، سلوهای غضروفی از خارج به داخل این ناحیه شروع به ظاهر شدن نمودند. بنا براین چنین به نظر می‌رسد که گلیکوپروتئین با زنجیره قندی GalNac که اختصاصاً با WFA واکنش نشان می‌دهد در تبدیل سلوهای مزانشیمی به سلوهای غضروفی نقش اساسی دارد و پس از شکل‌گیری غضروف ناپدید می‌شود. بنا براین احتمالاً همین گلیکوپروتئین در شکل دادن دیسک بین مهره‌ای (شکلهای ۶ و ۷) نیز نقش عمده‌ای دارد و در تحلیل رفتار نوتوكورده و تبدیل آن به نوکلتوس پالپوزوس نیز مؤثر است.

تقدیر و تشکر

نتایج حاصل از این مطالعه مربوط به بخشی از یافته‌های طرح پژوهشی با عنوان «مطالعه تایزات هیستوشیمیایی و ایونو هیستو شیمیایی تکامل نخاع» است که با شماره ۵/۴۵۳۸ در تاریخ ۱۷/۰۹/۷۹ از طرف معاونت پژوهشی دانشگاه علوم پزشکی مشهد به تصویب رسیده است. لذا بدبینو سیله از آن معاونت محترم و شورای محترم پژوهشی دانشگاه تشکر می‌شود و خدمات تکیکی سرکار خانم متعدد در امر کمک به کار آزمایشگاهی نیز قابل تقدیر است.

References

1. Bagnall K., Sanders E., 1989, The binding pattern of peanut lectin associated with sclerotome migration and the formation of the vertebral axis in the chick embryo. *Anat. Embryol.*, 180(5): 505-513.
2. Bumcrot D., McMahon A., 1995, Somite differentiation: Sonic signals somites, *Curr. Biol.*, 5(6): 612-614.
3. Charrier J., Lapointe F., Douarin N., Tallet M., 2001, Anti-apoptotic role of sonic hedgehog protein at the early stages of neural system organogenesis, *Development*, 128(20): 4011-4020.

شکمی داخلی لوله عصبی تاکنون مورد مطالعه چندان قرار نگرفته و فقط به بیان توزیع برخی ترکیبات قندی در ناحیه سومایی اکتفا شده است (۱۶). همانگونه که در بخش نتایج مشخص شده است لکتین OFA بجز یافته‌های عصبی (یافته‌هایی از لوله عصبی، گانگلیونهای در حال تکامل سپاتیک و عصب نخاعی) به هیچکدام از سلوهایی که در حال مهاجرت و جلب به سمت نوتوكورده هستند واکنشی نشان نداد. رویداد اخیر نشانگر این موضوع است که برخلاف سلوهای مهاجرت سطیغ عصبی که در ضمن مهاجرت به OFA واکنش می‌دهند (۱۱)، سلوهای مزانشیمی اسکلروتوم نسبت به این لکتین هیچ واکنش نشان نمی‌دهند. بر اساس برخی مطالعات، مولکول Shh که از لوله عصبی و خصوصاً از ناحیه شکمی صفحه کنی ترشح می‌گردد در تایزات این سلوها مؤثر واقع می‌شود (۱۳، ۷، ۲). بسیاری از مطالعات نیز مؤید این موضوع هستند که نوتوكورد توسط برخی از مولکول‌ها از جمله Shh، سلوهای اسکلروتوم را به سمت خود جلب می‌غاید (۲۴، ۲۳، ۱۵، ۸).

مطالعات لکتین هیستوشیمی مابا استفاده از لکتین WFA (۳۱) نیز که به پدیدار شدن واکنشهای سلوی از مرحله تراکم سلوهای مزانشیمی اسکلروتوم تا مرحله غضروفی منجر شد تاکنون گزارش نشده و این اولین گزارش علمی مربوط به این موضوع است. لکتین WFA با قند انتهایی «ان استیل گالاكتوزامین» (GalNac) متصل می‌شود که از نظر اتصال به قند ما قبل آخر خود، نوع قند ماقبل آخر و احتمالاً موقعیت فضایی مولکول GalNac با آنچه که توسط لکتینهای VVA، SBA، DBA و مشخص می‌شود، متفاوت است (۳۲، ۱۰). پدیده واکنش WFA در مطالعه دیگری نیز که در ارتباط با مهاجرت سلوهای جنسی اولیه صورت می‌گیرد، ذکر شده است. در آن مطالعه سلوهای جنسی اولیه در ضمن مهاجرت فقط با سلوهای جنسی اولیه در گنادها برای تشکیل واکنش داشتند که پس از جایگزینی در گنادها به پیش ساز لوله‌های سی نفروز این واکنش به اختصاص یافت (۱۰). همانگونه که در یافته‌های این پژوهش

18. Hayes A., Benjamine M., Ralphs J., 2001, Extracellular matrix in development of the intervertebral disc, *Matrix Biol.*, 20(2): 107-121.
19. Harland R., 2000, Neural induction, *Curr.Opin.Gen.Dev.*, 10: 357-362.
20. Kessler D., Melton D., 1994, Vertebrate embryonic induction: mesodermal and neuronal patterning, *Science*, 266: 596-604.
21. Kim S., Hebrok M., Melton D., 1997a, Notochord to endoderm signaling is required for pancreas development, *Development*, 124: 4243-4252.
22. Kimelman D., Griffin K., 2000, Vertebrate mesendoderm induction and patterning, *Curr. Opin.Gen. Dev.*, 10: 350-356.
23. Kos L., Chiang C., Mahon K., 1998, Mediolateral patterning of somites: multiple axial signals, including Sonic hedgehog, regulate Nkx-3.1 expression, *Mech. Dev.*, 70: 25-34.
24. Kochibe N., 1980, Furukawa: Purification and properties of a novel fucose-specific hemagglutinin of *Aleuria aurantia*, *Biochemistry*, 19: 2841-2846.
25. Marti E., 2000, Expression of chick BMP-1/Tolloid during patterning of the neural tube and somites, *Mech. Dev.*, 91(1-2): 415-419.
26. Monsoro-Burq A. H., Le-Douarin N., 1999, Molecular aspects of vertebral chondrogenesis, *J. Soc. Biol.*, 193(3): 263-268.
27. Placzek M., 1995, The role of notochord and floor plate inductive interactions, *Curr.Opin.Genet. Dev.*, 5: 499-506.
28. Placzek M., Dodd J., Jessell T., 2000, The case for floor plate induction by the notochord, *Current opinion in neurobiology*, 10: 15-22.
29. Saraga-Babic M., Stefanowic V., Wartionaara J., Lehtonen E., 1993, Spinal cord-notochordal relationship in normal human embryos and in human embryos with double spinal cord., *Acta Neuropathol.*, 85(5): 509-514.
30. Pons S., Marti E., 2000, Sonic hedgehog synergizes with the extracellular matrix protein vitronectin to induce spinal motor neuron differentiation, *Development*, 127(2): 333-342.
31. Torres B., McCrimb D., 1988, Glycolipid lectin interactions reactivity of lectins with *Helix Pomatia*, *Wisteria floribunda* and *dolichos biflorus* with Glycolipids containing N-acetylgalactosamine, *Arch. Biochem., Biophys.*, 262: 1-12.
32. Wilkinson D., 1998, Neural developments, *Mech. of Dev.*, 77: 3-7.
4. Clare V., Baker H., Bronner-Fraser M., 2001, Vertebrate cranial placodes I. Embryonic induction, *Dev. Biol.*, 232: 1-61.
5. Christ B., Wilting J., 1992, from somites to vertebral column, *Anat. Anz.*, 174(1): 23-32.
6. Cleaver O., Krieg P., 2001, Notochord patterning of the endoderm, *Developmental Biology*, 234, 1-12.
7. Correia K., Conlon R., 2000, Surface ectoderm is necessary for the morphogenesis of somites, *Mech. Dev.*, 91(1-2): 19-30.
8. Dockter J. L., 2000, Sclerotome induction and differentiation, *Curr.Top.Dev.Biol.*, 48: 77-127.
9. Fam C., Tessier-Lavigne M., 1994, Patterning of mammalian somites by surface ectoderm and notochord: evidence for sclerotome induction by hedgehog homolog, *Cell*, 79(7): 1185-1186.
10. Fazel A., Schulte B., Thompson R., Spicer S., 1987a, Presence of a unique glycoconjugate on the surface of rat primordial germ cells during migration, *Cell Differ.*, 21: 199-211.
11. Fazel A., Sumida H., Schulte B., Thompson R., 1989, Lectin histochemistry of the embryonic heart: Fucos-specific lectin binding sites in developing rats and chicks, *Am. J.Anat.* 184: 76-84.
12. Fazel A., Nikravesh M. R., Jalali M., 2002, Developmental changes of glycoconjugates in early mouse embryonic neuroepithelium notochordal and surrounding mesenchymal interaction, *Yakteh*, Submitted for publication.
13. Furumoto T. A., Miura N., Akasaka T., Mizutani-Koseki Y., Sudo H., Fukuda K., Maekawa M., Yuasa S., Fu Y., Moriya H., Taniguchi M., Imai K., Dahl E., Balling R., Pavlova M., Gossler A., Koseki H., 1999, Notochord-dependent expression of MFH1 and PAX1 cooperates to maintain the proliferation of sclerotome cells during the vertebral column development, *Dev-Biol.*, 210(1): 15-29.
14. Gardon J., 1987, Embryonic induction: molecular prospects, *Development*, 117: 1001-1016.
15. Gossler A., Hrabe de Angelis M., 1998, Somatogenesis, *Curr.Top. Dev.Biol.*, 38: 225-287.
16. Gotz W., Qundamatteo F., 2001, Glycoconjugate distribution in early human notochord and axial mesenchyme, *Acta Histochem.*, 103(1): 21-35.
17. Yamada T., Placzek M., Tanaka H., Dodd J., Jessell T. M., 1991, Control of cell pattern in the developing nervous system: polarizing activity of the floor plate and notochord, *Cell*, 64: 635-647.